

Fig.4 : Individualisation de lignées mutantes chez les unicellulaires et les pluricellulaires

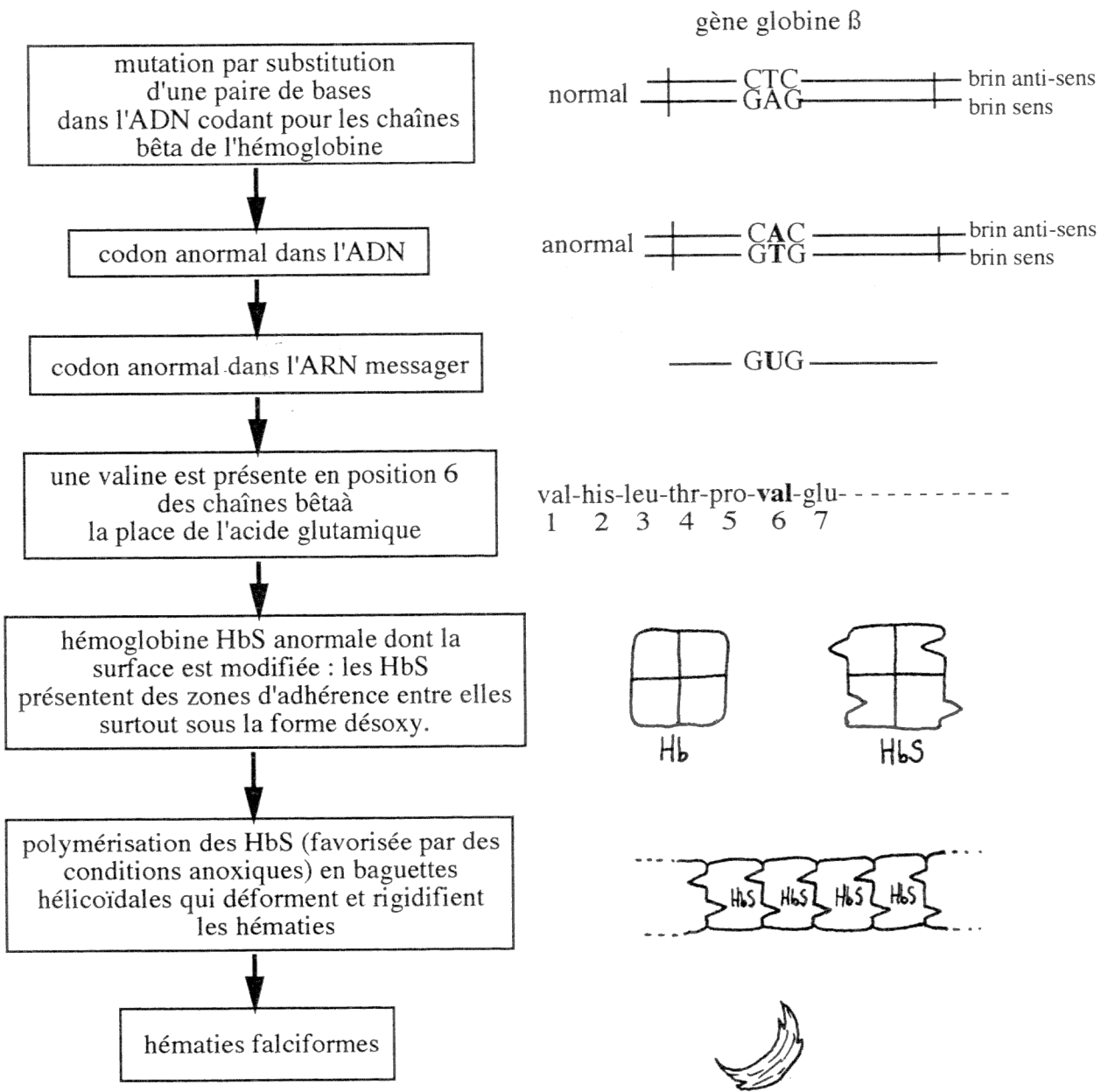


Fig.13 : Les causes moléculaires de la drépanocytose

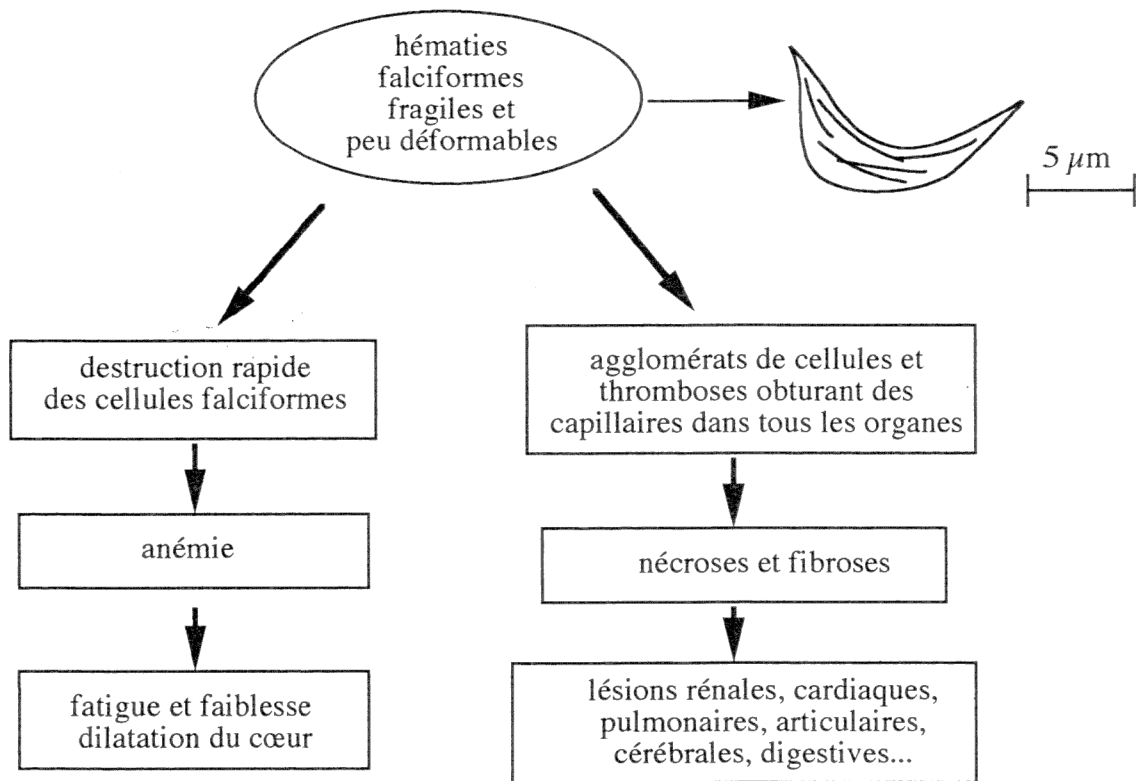


Fig.12 : Les caractéristiques de l'anémie falciforme

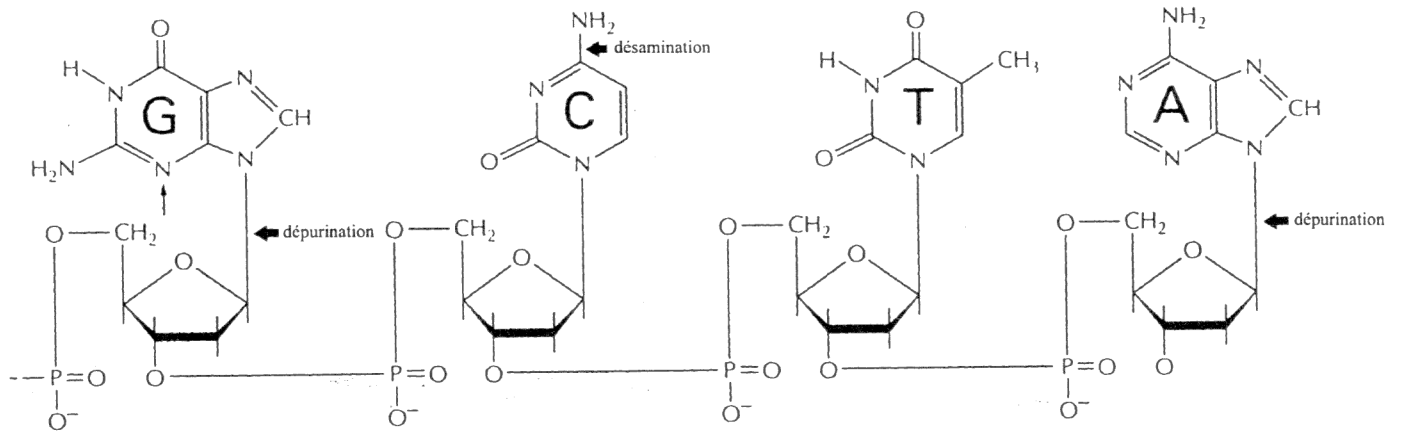
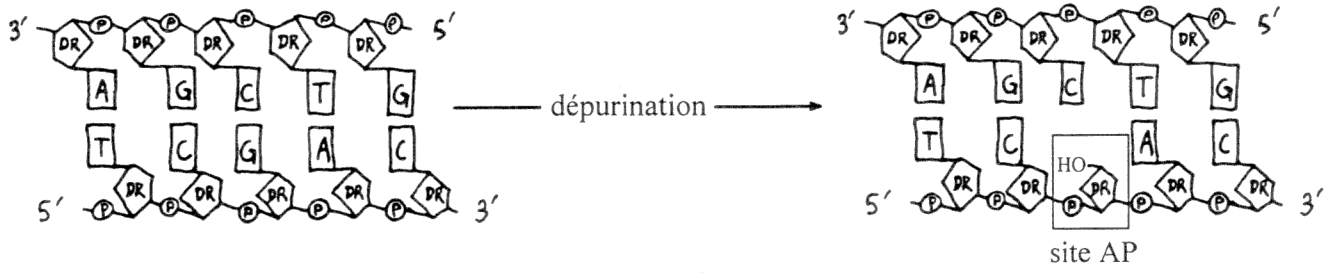


Fig.17 : Les lésions chimiques spontanées les plus fréquentes de l'ADN



(DR=désoxy-ribose, P=phosphate, A,C,G et T = bases azotées)

Fig.18 : Apparition d'un site AP dans une molécule d'ADN

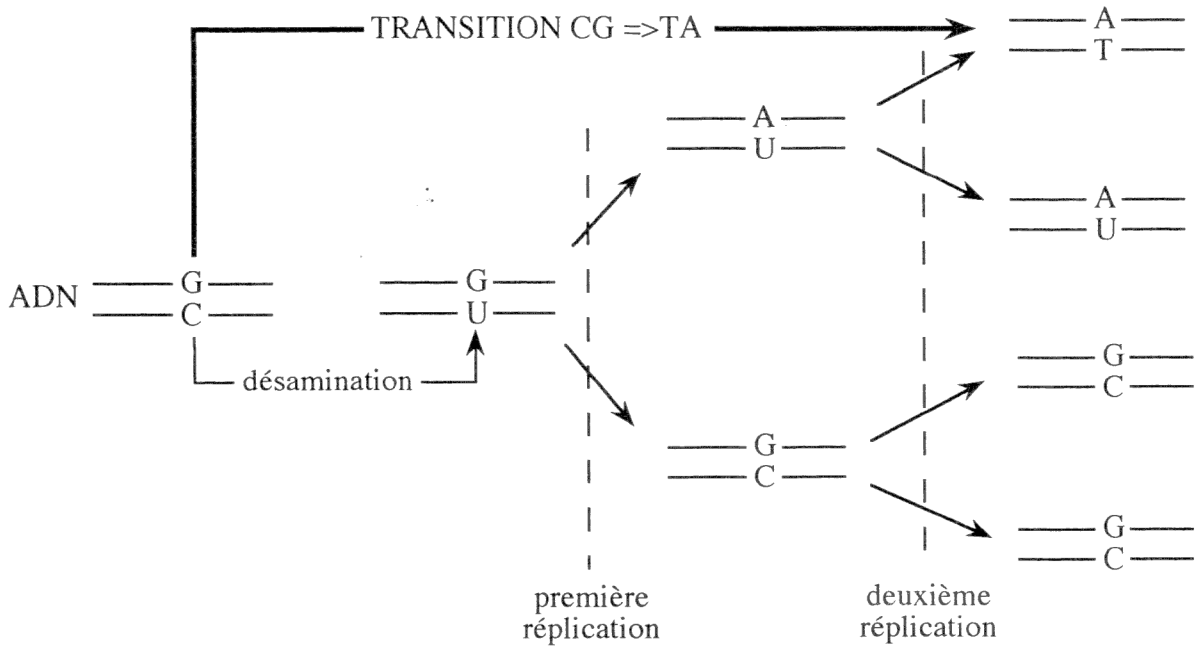
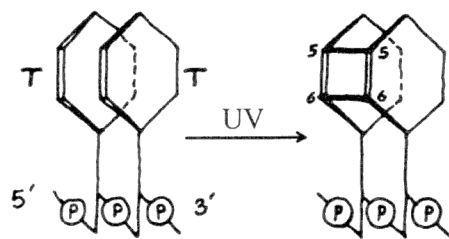
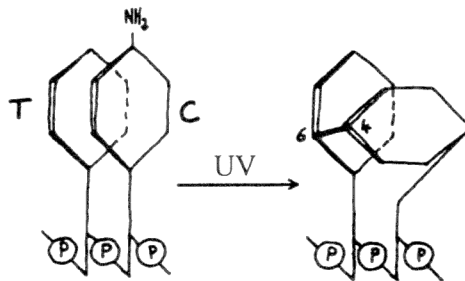


Fig.19 : Un exemple de transition, obtenu après désamination d'une cytosine

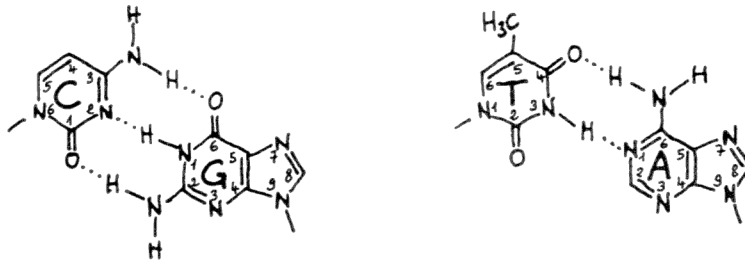


Dimérisation de deux thymines adjacentes sur un brin



Formation de photoproduit T-C 6-4

Fig.20 : Dimérisation de bases pyrimidiques sous l'influence des ultra-violets



Formes d'appariement légitime des bases azotées sous leurs formes tautomères les plus fréquentes

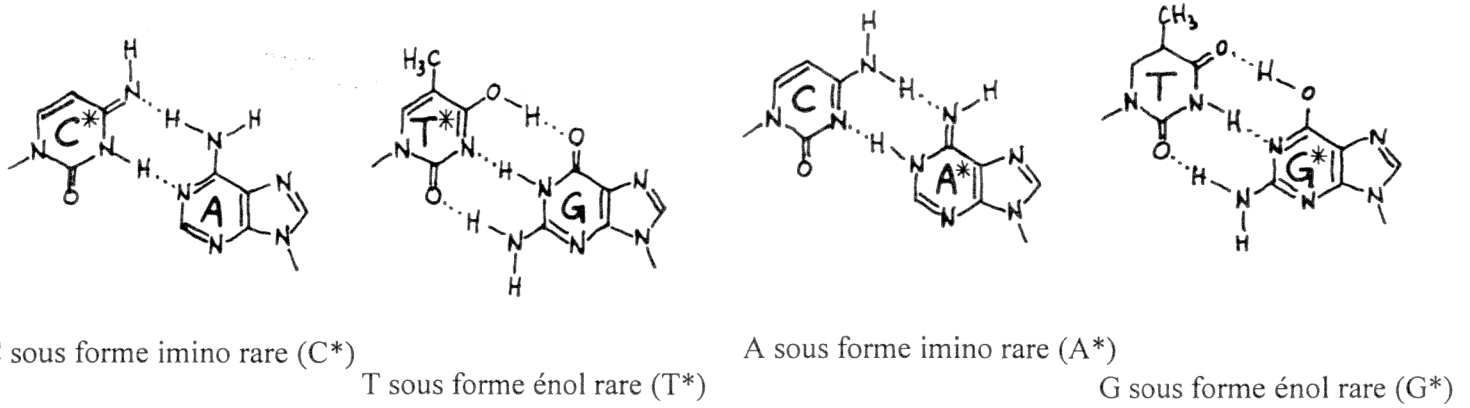


Fig.21 Appariement illégitime des formes tautomères rares des bases azotées

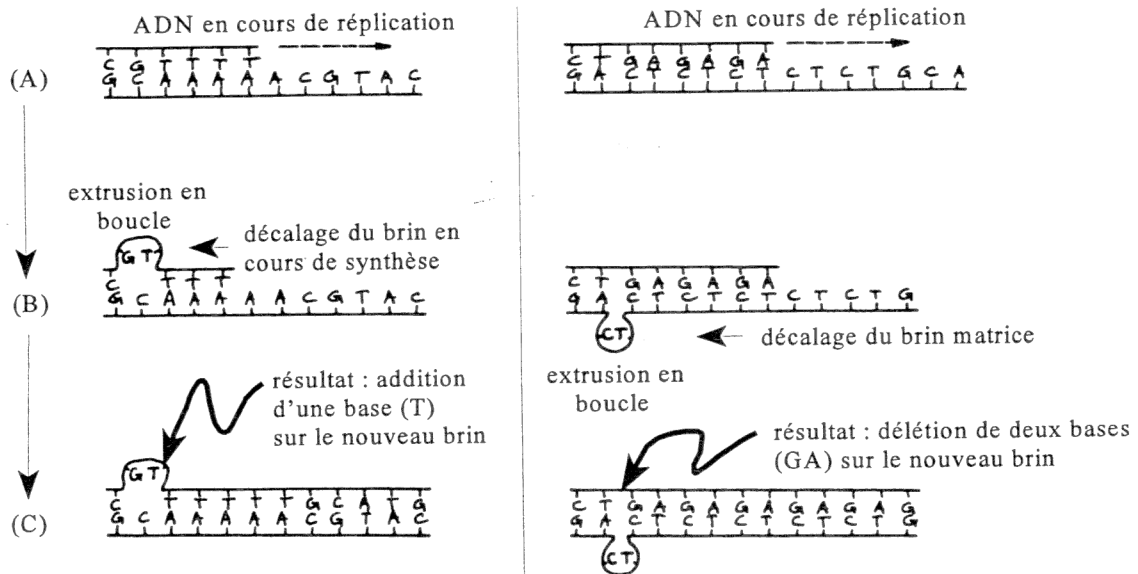


Fig.22 : Modèle expliquant, sur deux exemples, les mécanismes des additions et délétions fréquentes dans les zones d'ADN à séquences répétées

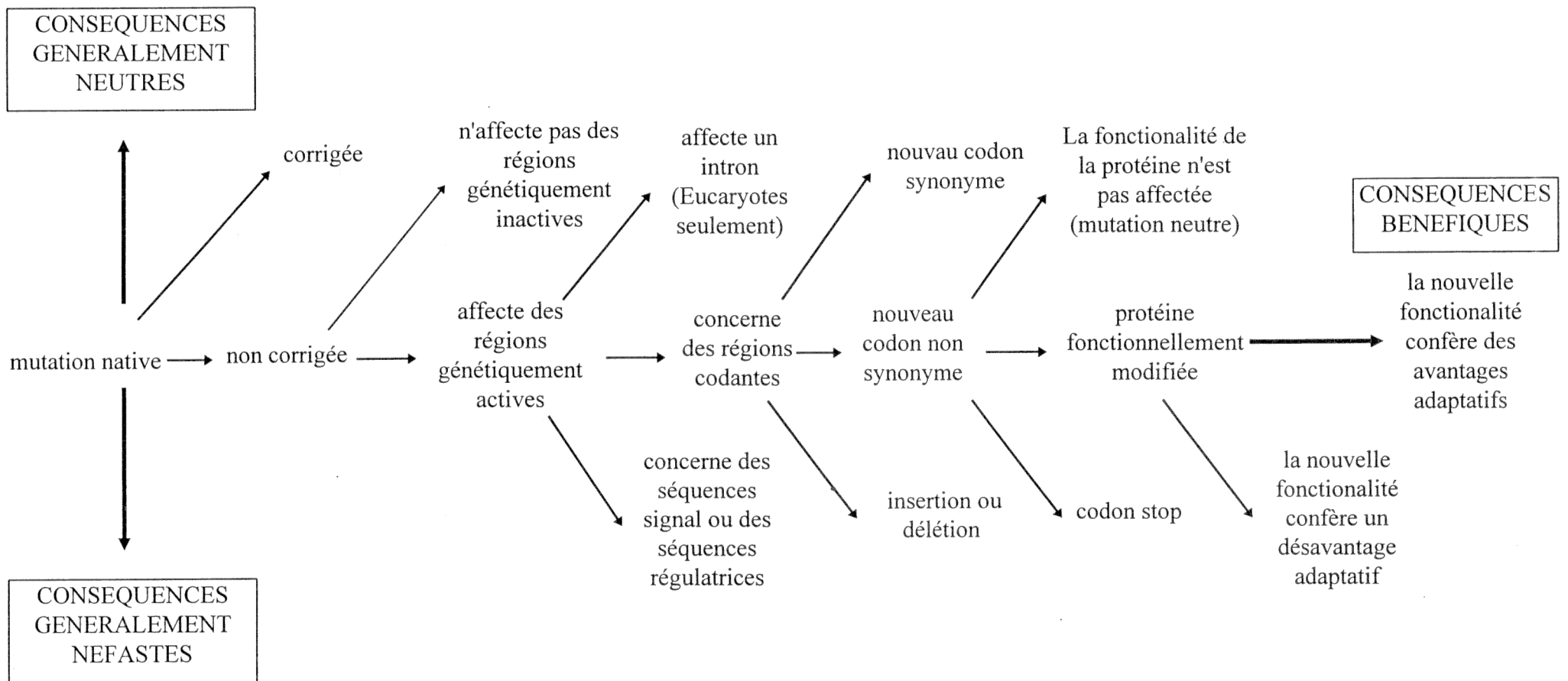


Fig. 29 : Les conséquences possibles d'une mutation génique